

PENTODE for use as frame and sound output tube
 PENTHODE pour utilisation comme tube de sortie de déviation verticale et de son

PENTODE zur Verwendung als Endröhre für die vertikale Ablenkung und für die Schallwiedergabe

Heating : indirect by A.C. or D.C.
 parallel supply

Chauffage: indirect par C.A. ou C.C.
 alimentation parallèle

Heizung : indirekt durch Wechsel-
 oder Gleichstrom; Parallelspeisung

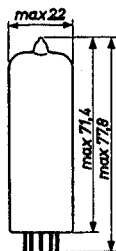
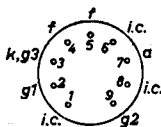
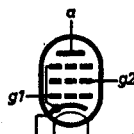
$V_f = 6,3 \text{ V}$

$I_f = 800 \text{ mA}$

Dimensions in mm

Dimensions en mm

Abmessungen in mm



k, g3 f f Base, culot, Sockel: NOVAL

Capacitances

Capacités

Kapazitäten

$C_a = 5,9 \text{ pF}$

$C_{g1} = 11 \text{ pF}$

$C_{ag1} < 1 \text{ pF}$

$C_{g1f} < 0,15 \text{ pF}$

Optimum peak anode current in frame output application

To allow for tube spread and for deterioration during life in frame output application the circuit should be designed around a peak anode current not exceeding

90 mA at $V_a = 50 \text{ V}$, $V_{g2} = 170 \text{ V}$

120 mA at $V_a = 60 \text{ V}$, $V_{g2} = 200 \text{ V}$

Courant anodique de crête optimum en application comme tube de sortie pour la déviation verticale

Pour tenir compte des tolérances du tube et de la dégradation en service, le circuit devra être conçu pour un courant anodique de crête ne dépassant pas une valeur de

90 mA à $V_a = 50 \text{ V}$, $V_{g2} = 170 \text{ V}$

120 mA à $V_a = 60 \text{ V}$, $V_{g2} = 200 \text{ V}$

Höchstwert des Anodenspitzenstromes beim Gebrauch als Endröhre für die vertikale Ablenkung

Um den Röhrentoleranzen und der Verschlechterung während der Lebensdauer Rechnung zu tragen, soll die Schaltung entworfen werden für einen Höchstwert des Anodenspitzenstromes von

$$90 \text{ mA bei } V_a = 50 \text{ V, } V_{g2} = 170 \text{ V}$$

$$120 \text{ mA bei } V_a = 60 \text{ V, } V_{g2} = 200 \text{ V}$$

Operating characteristics as sound output tube, class A
Caractéristiques d'utilisation comme tube de sortie de son, classe A

Betriebsdaten als Endröhre für Schallwiedergabe, Klasse A

| | | | |
|---------------------------------|---|-------|---------------|
| $V_a = V_b$ | = | 170 | 200 V |
| V_{g2} | = | 170 | - V |
| R_{g2} | = | - | 680 Ω |
| V_{g1} | = | -10,4 | -13,9 V |
| I_a | = | 53 | 45 mA |
| I_{g2} | = | 10 | 8,5 mA |
| S | = | 9 | 7,6 mA/V |
| R_1 | = | 20 | 24 k Ω |
| μ_{g2g1} | = | 10 | 10 |
| R_a | = | 3 | 4 k Ω |
| W_0 (d = 10 %) | = | 4,0 | 4,2 W |
| V_1 (d = 10 %) | = | 6 | 7 Veff |
| V_1 ($W_0 = 50 \text{ mW}$) | = | 0,5 | 0,55 Veff |

Operating characteristics as sound output tube, class A push-pull (two tubes)
 Caractéristiques d'utilisation comme tube de sortie de son, classe A push-pull (deux tubes)
 Betriebsdaten als Endröhre für Schallwiedergabe, Klasse A Gegentakt (zwei Röhren)

| | | | | | |
|-----------|---|-------|-------|-------|------------------|
| V_a | = | 170 | | 200 | V |
| V_{g2} | = | 170 | | 200 | V |
| R_k | = | 100 | | 135 | Ω |
| R_{aa} | = | 4 | | 4 | |
| V_1 | = | 0 | 2x9,3 | 0 | 2x13,5 V_{eff} |
| I_a | = | 2x46 | 2x50 | 2x45 | 2x52 mA |
| I_{g2} | = | 2x8,7 | 2x17 | 2x8,5 | 2x19 mA |
| W_o | = | 0 | 9 | 0 | 12 W |
| d_{tot} | = | - | 5 | - | 5 % |

Limiting values
 Caractéristiques limites
 Grenzdaten

| | | | | |
|------------------|----------------------|------------------------------------|--------|-----------------------------|
| V_{a0} = max. | 550 V | W_{g2p} | = max. | 4 W |
| V_{ap} = max. | 2500 V ¹⁾ | I_k | = max. | 75 mA |
| $-V_{ap}$ = max. | 500 V | V_{g1} ($I_{g1} = +0,3 \mu A$) | = max. | -1,3 V |
| V_a = max. | 250 V ⁴⁾ | R_{g1} | = max. | 1 $M\Omega$ ²⁾ |
| W_a = max. | 9 W | R_{g1} | = max. | 0,4 $M\Omega$ ³⁾ |
| V_{g2o} = max. | 550 V | R_{kf} | = max. | 20 k Ω |
| V_{g2} = max. | 250 V | V_{kf} | = max. | 100 V |
| W_{g2} = max. | 2,5 W | | | |

1) Max. pulse duration 10% of a cycle, with a maximum of 2 msec

Durée de l'impulsion max. 10% d'un cycle, avec un maximum de 2 msec

Impulszeit max. 10% einer Periode, mit einem Maximum von 2 mSek

2) With automatic grid bias

Avec polarisation négative fixe

Mit automatischer negativer Gittervorspannung

3) With fixed grid bias

Avec polarisation négative fixe

Mit fester negativer Gittervorspannung

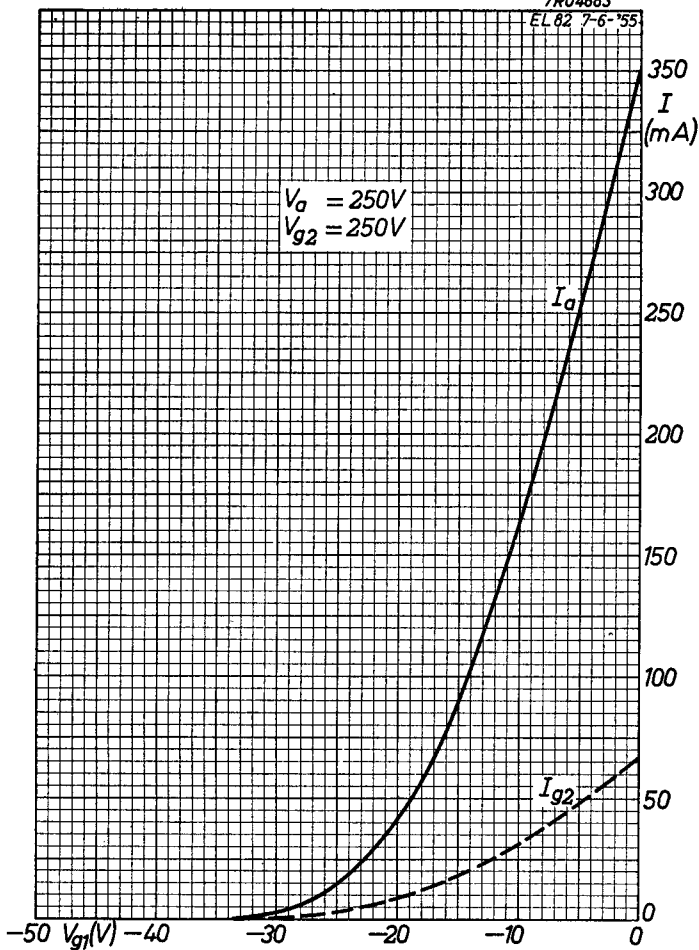
4) When used as frame output tube with $W_a \leq 4,5$ W, V_a = max. 450 V

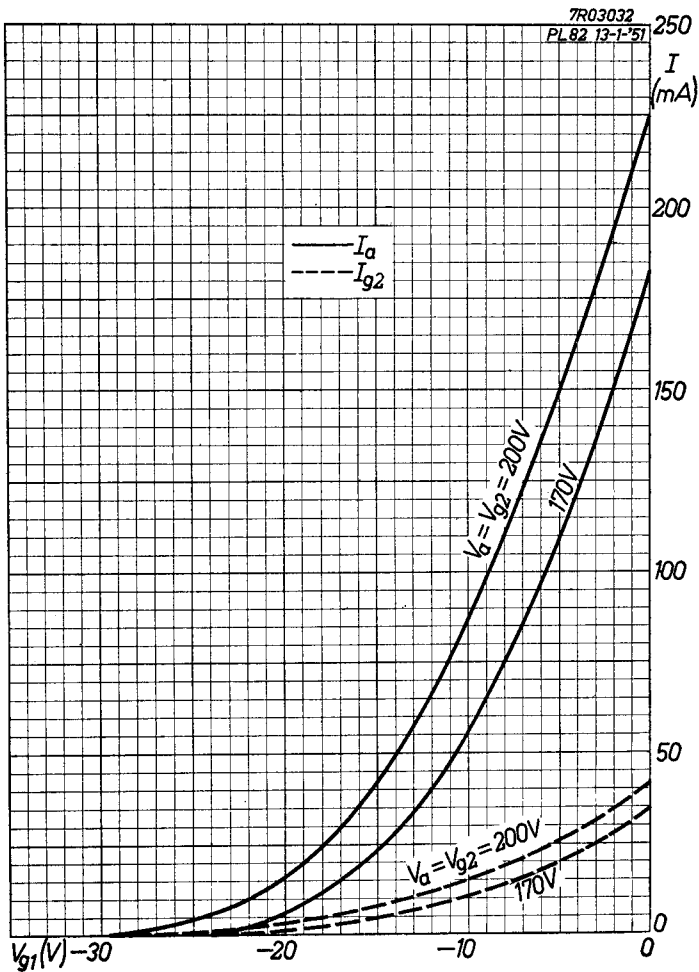
En utilisation comme tube de sortie de déviation verticale avec $W_a \leq 4,5$ W, $V_a = 450$ V au max.

Beim Gebrauch als Endröhre für die vertikale Ablenkung mit $W_a \leq 4,5$ W, ist $V_a = \text{max. } 450$ V

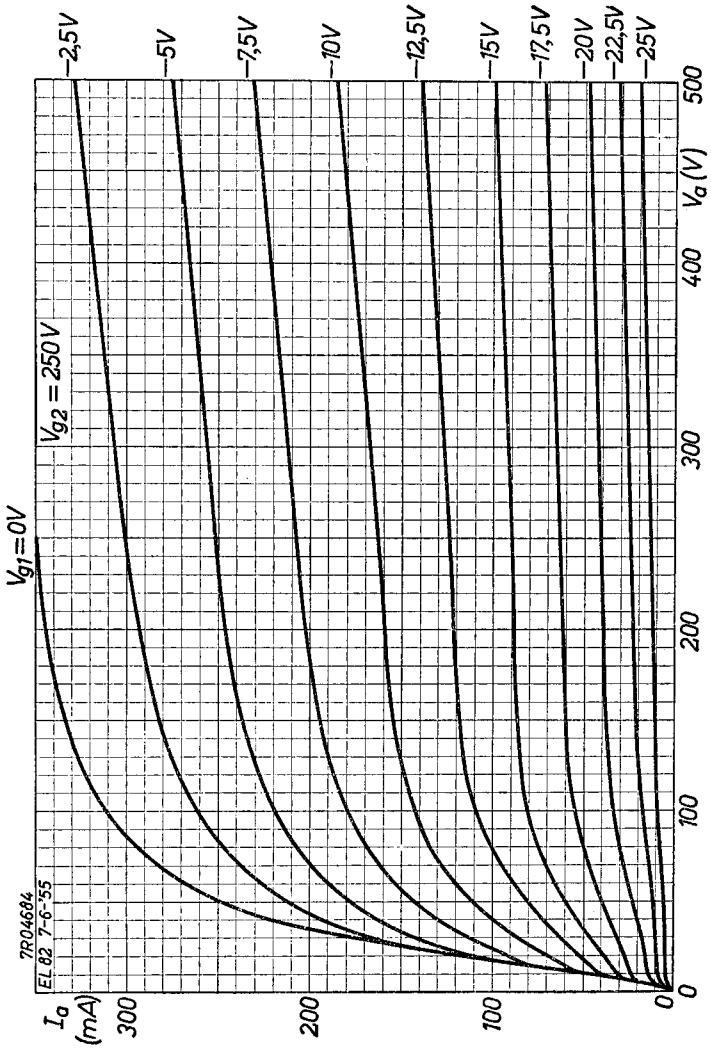
7R04683

EL 82 7-6-'55



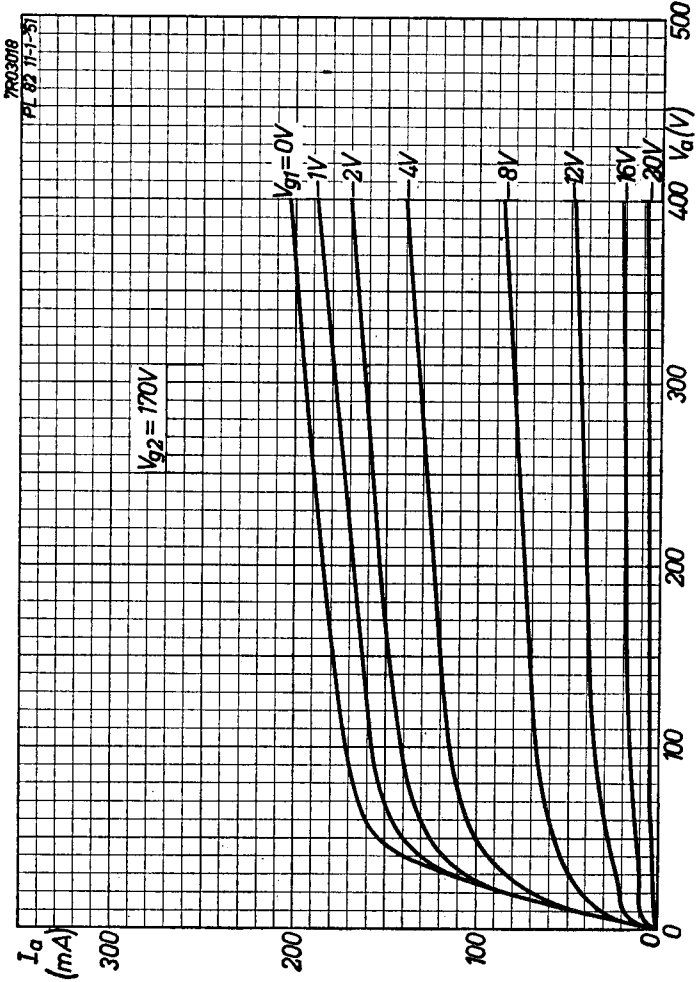
EL 82**PHILIPS**

B

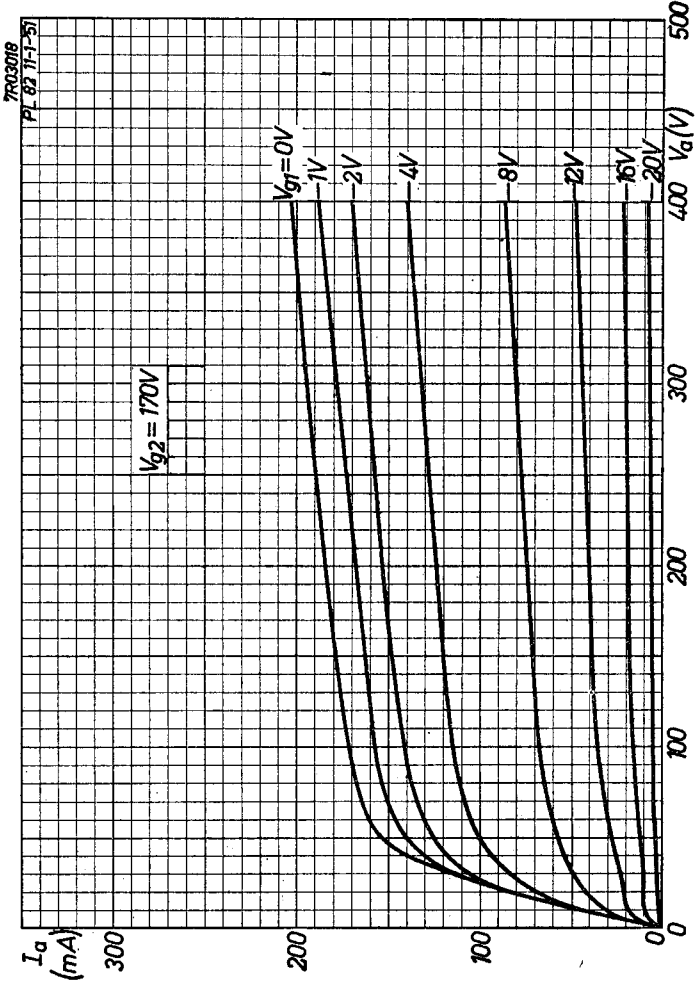


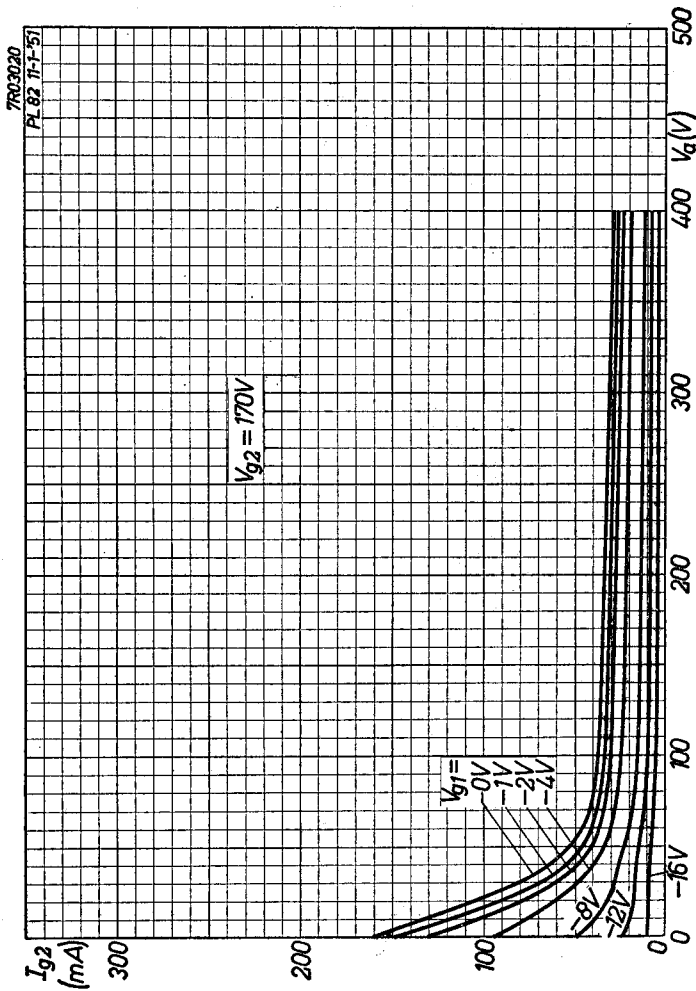
EL 82

PHILIPS



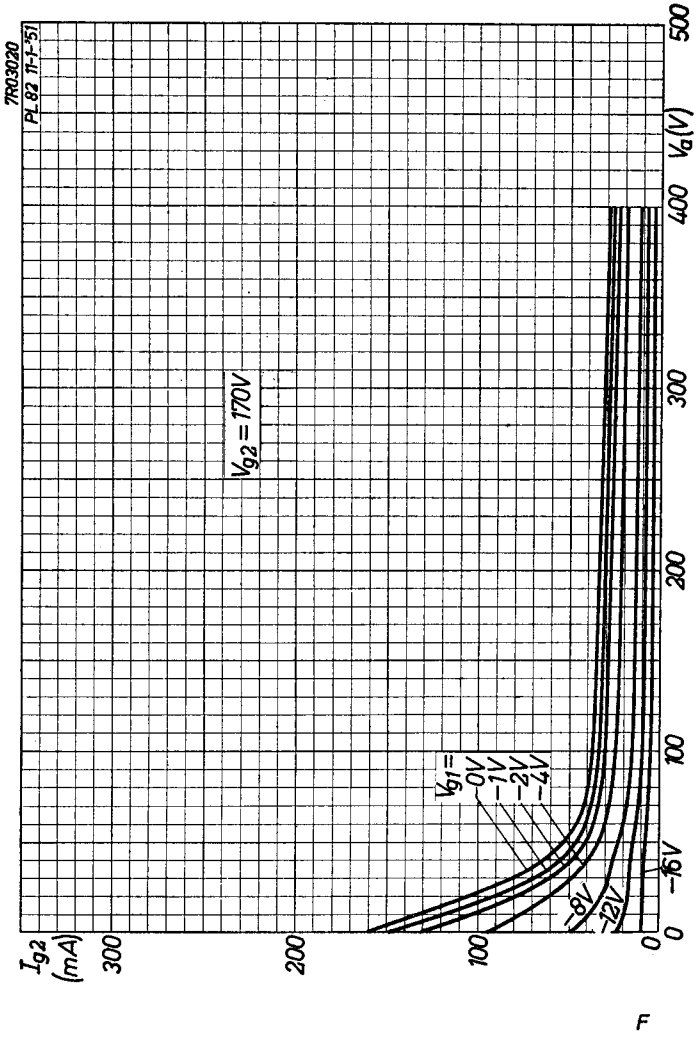
D





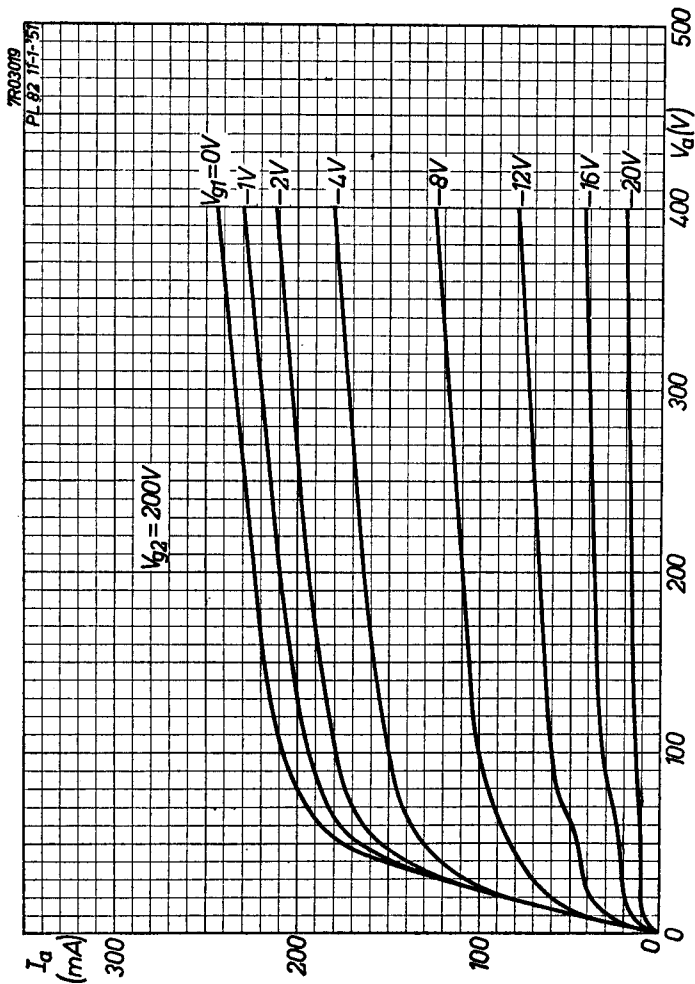
EL 82

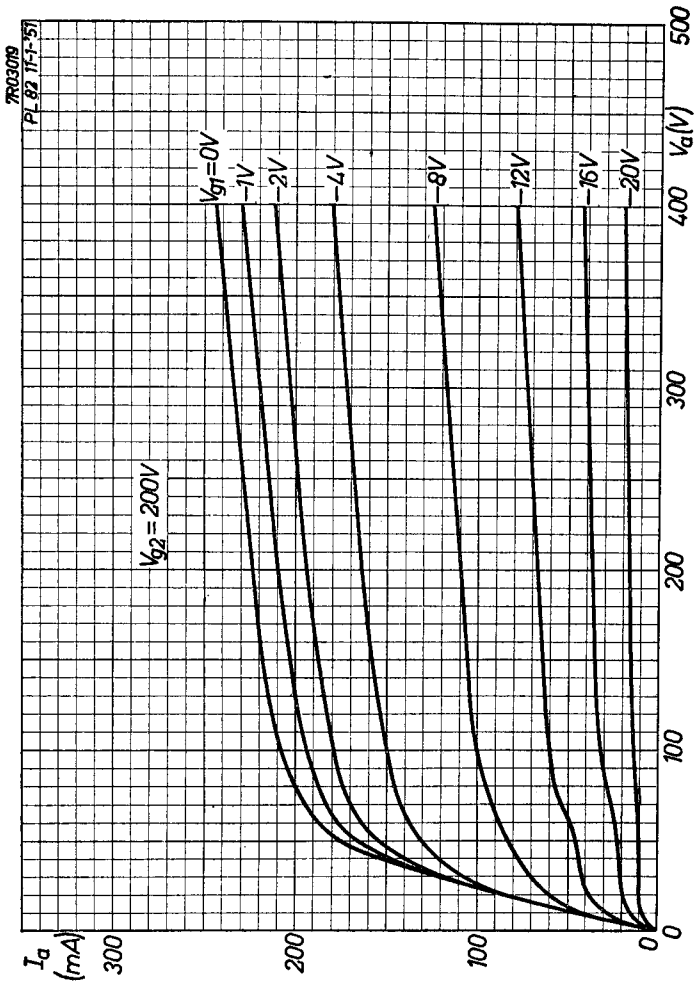
PHILIPS

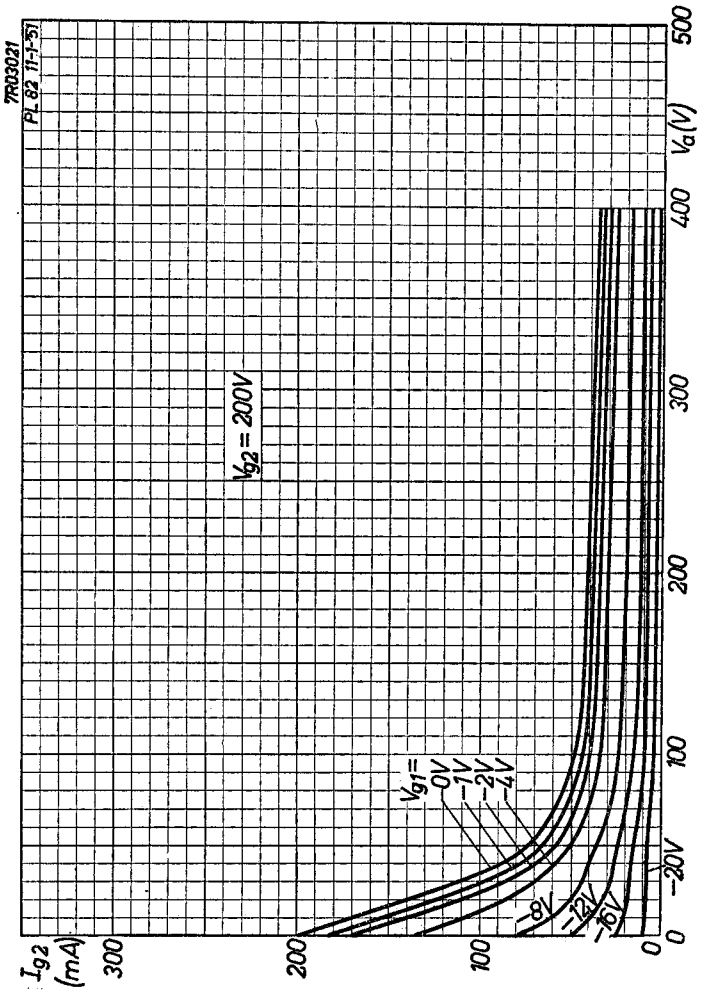


EL 82

PHILIPS

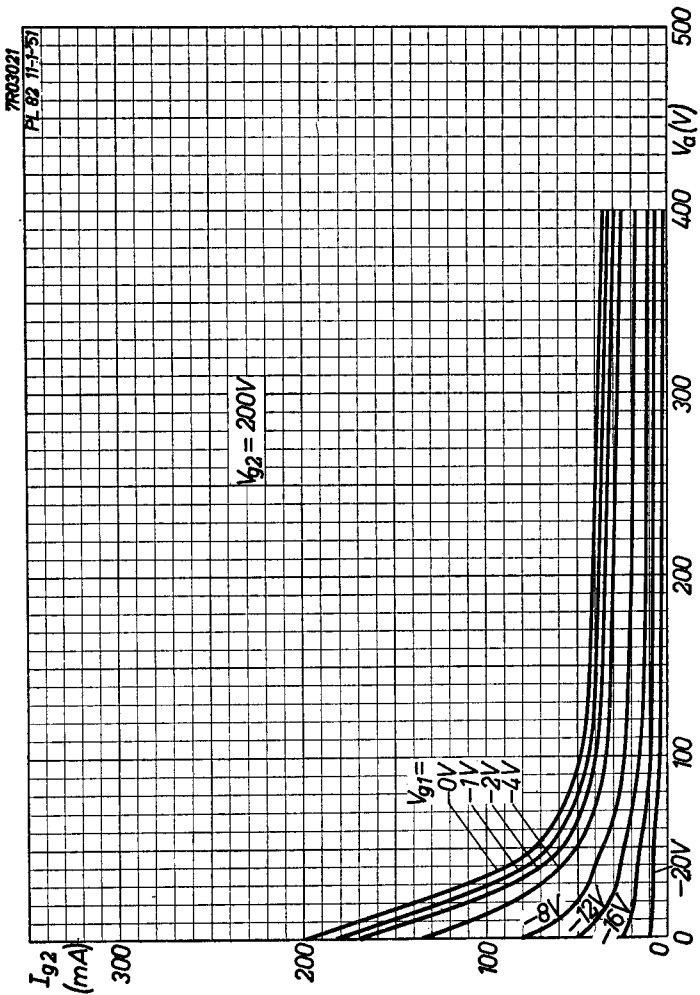






EL 82

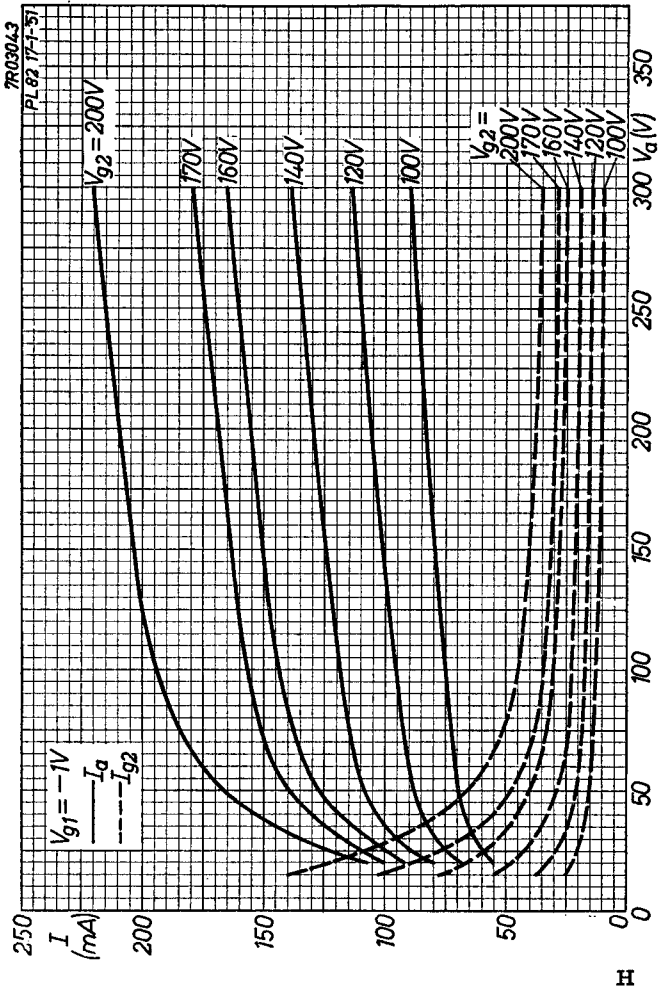
PHILIPS

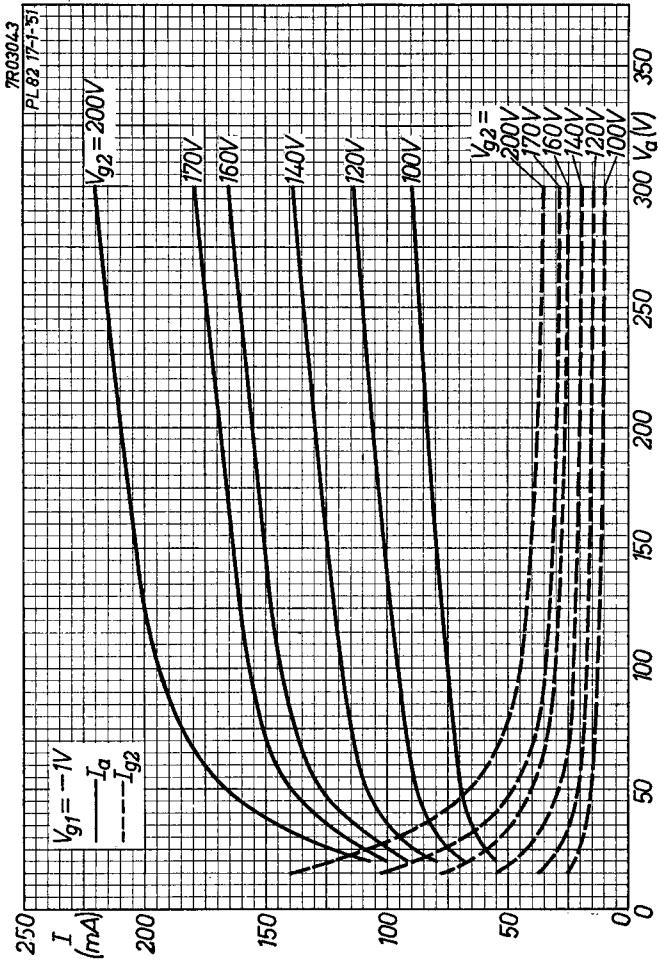


H

EL 82

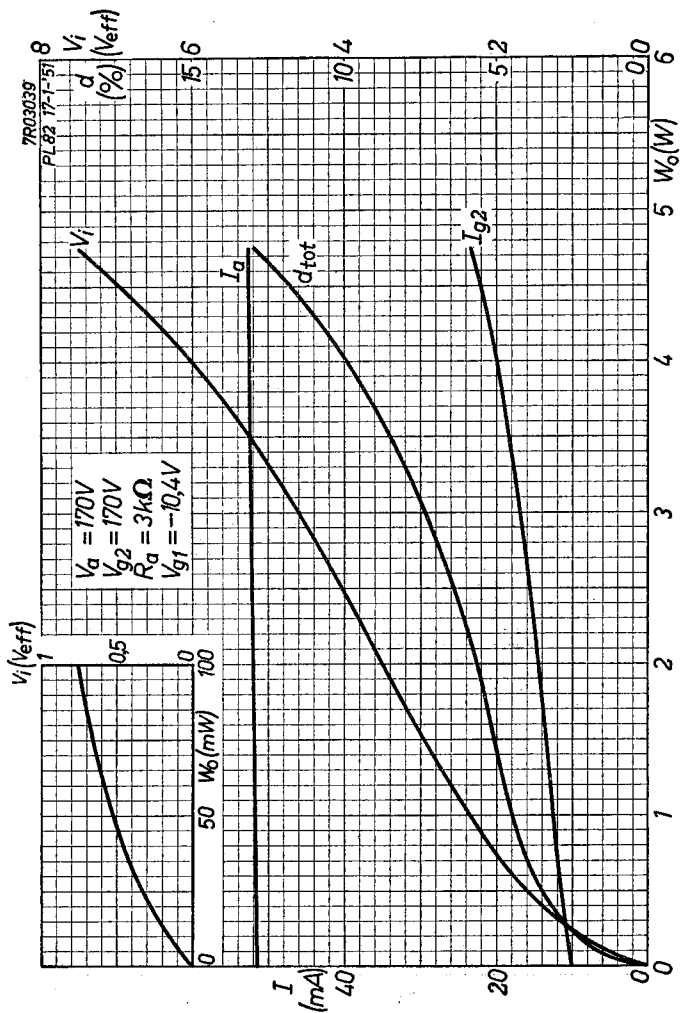
PHILIPS

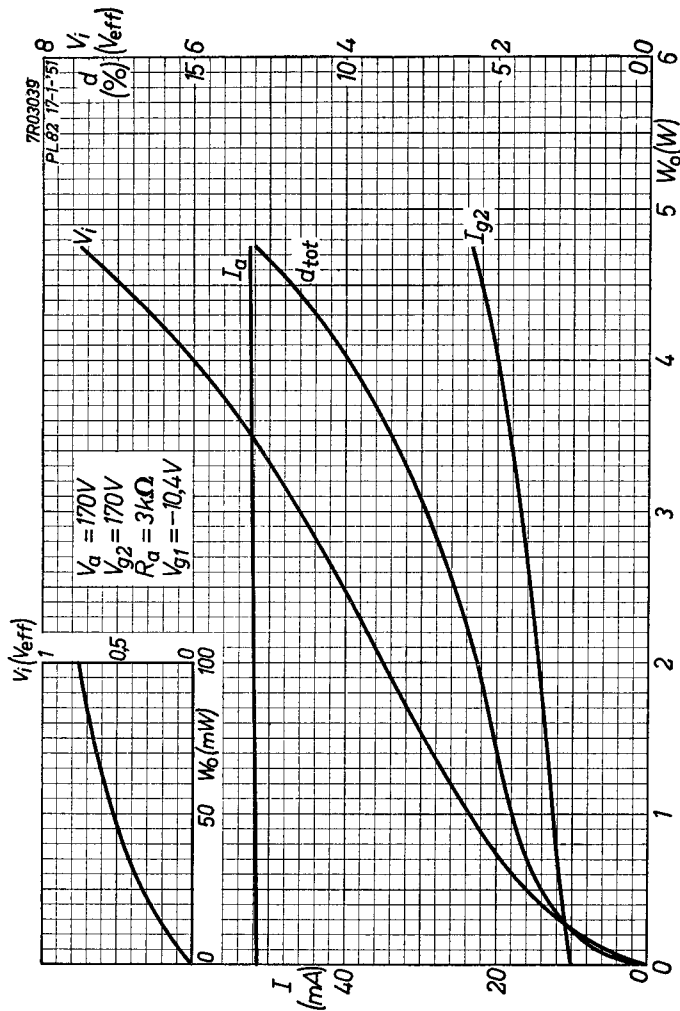


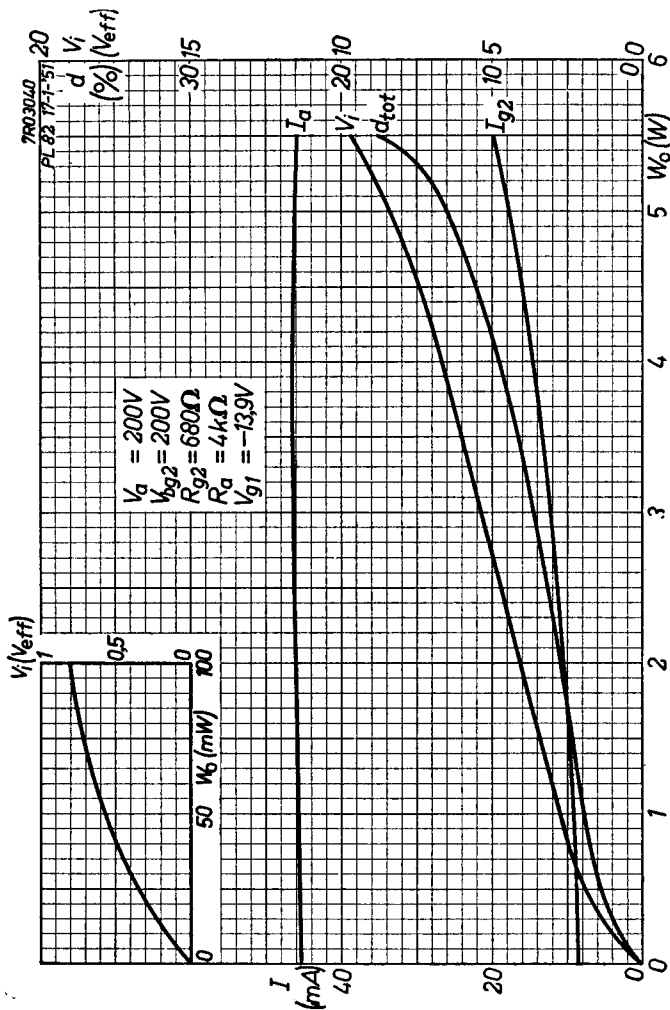


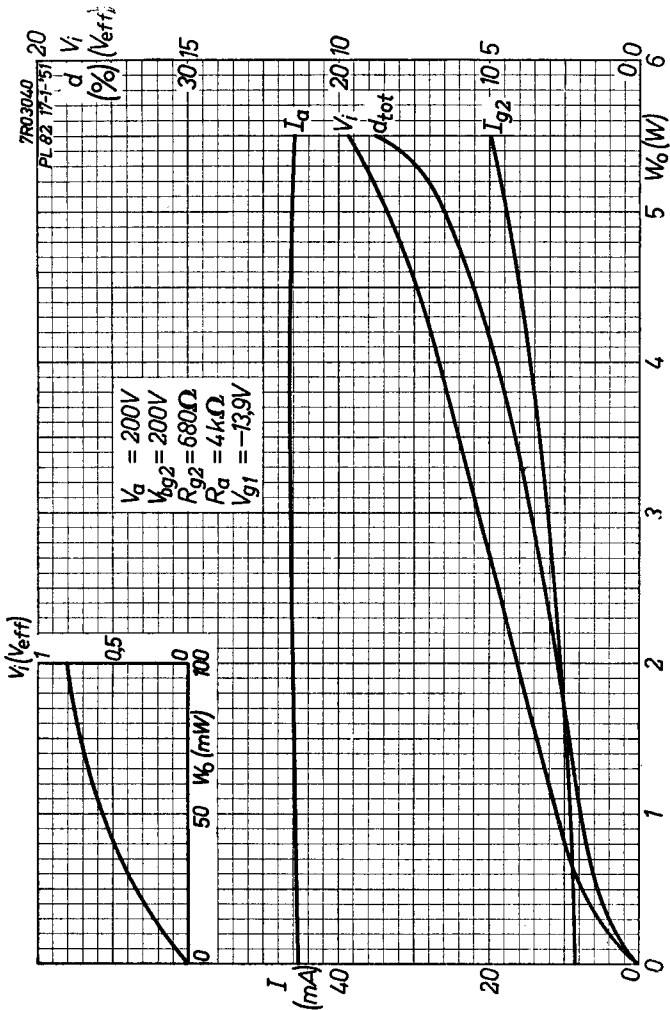
7.7.1955

I



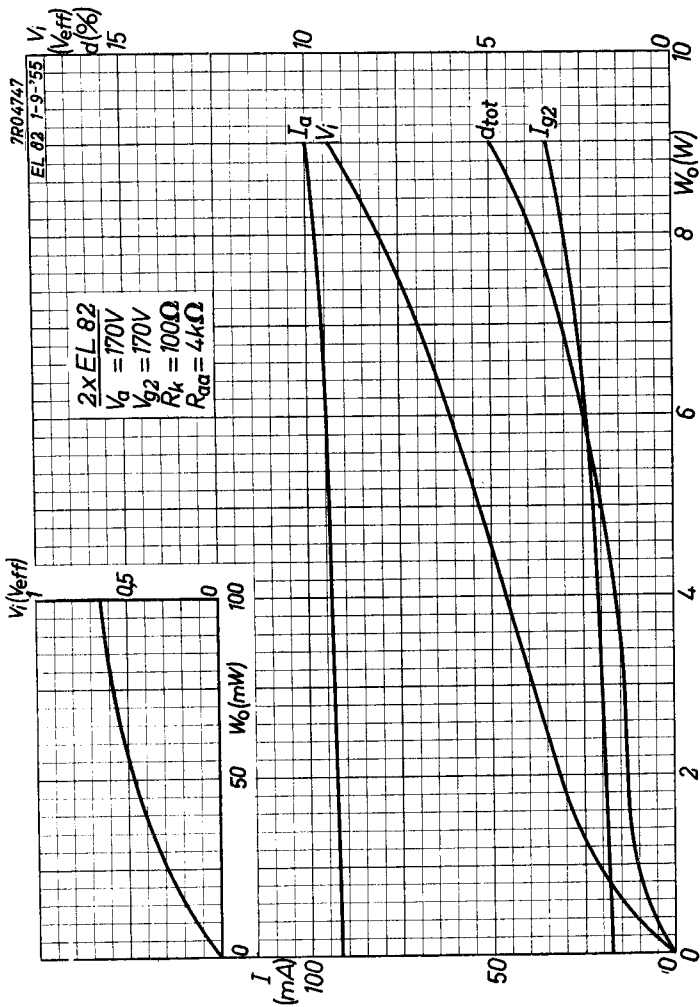
EL 82**PHILIPS**

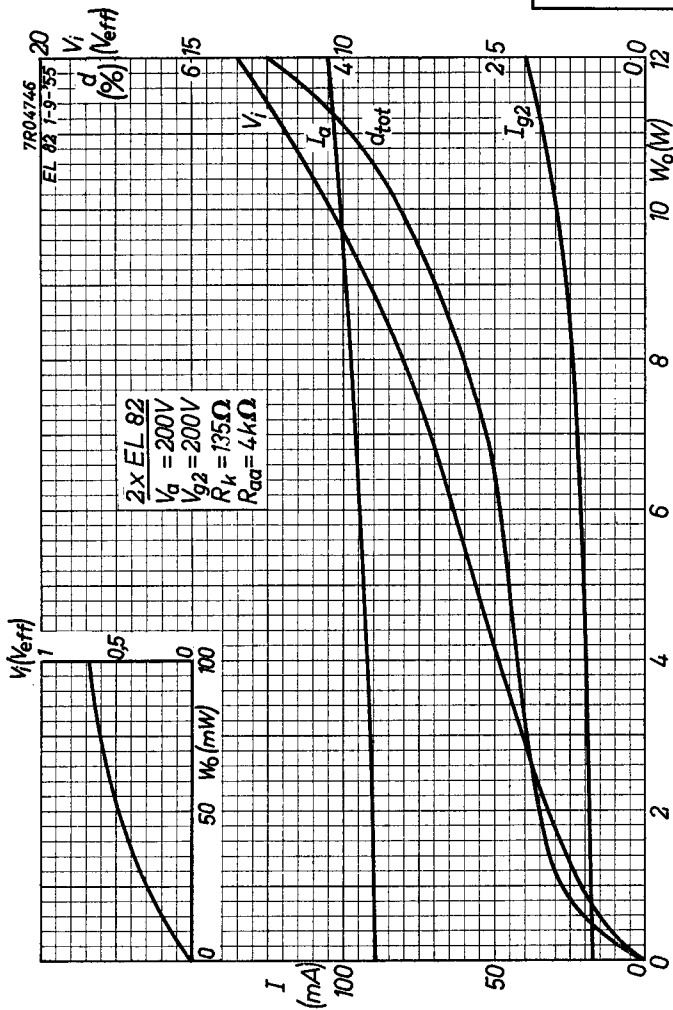
EL 82**PHILIPS**



EL 82

PHILIPS





PHILIPS

*Electronic
Tube*

HANDBOOK

| page | EL82 sheet | date |
|-------------|-----------------------|-------------|
| 1 | 1 | 1956.04.04 |
| 2 | 2 | 1956.04.04 |
| 3 | 3 | 1956.04.04 |
| 4 | A | 1955.07.07 |
| 5 | B | 1955.07.07 |
| 6 | C | 1957.10.10 |
| 7 | D | 1957.10.10 |
| 8 | E | 1955.07.07 |
| 9 | E | 1957.10.10 |
| 10 | F | 1955.07.07 |
| 11 | F | 1957.10.10 |
| 12 | G | 1955.07.07 |
| 13 | G | 1957.10.10 |
| 14 | H | 1955.07.07 |
| 15 | H | 1957.10.10 |
| 16 | I | 1955.07.07 |
| 17 | I | 1957.10.10 |
| 18 | J | 1955.07.07 |
| 19 | J | 1957.10.10 |

| | | |
|--------|----|------------|
| 20 | K | 1955.09.09 |
| 21 | L | 1955.09.09 |
| 22 | M | 1955.09.09 |
| 23, 24 | FP | 2000.01.06 |